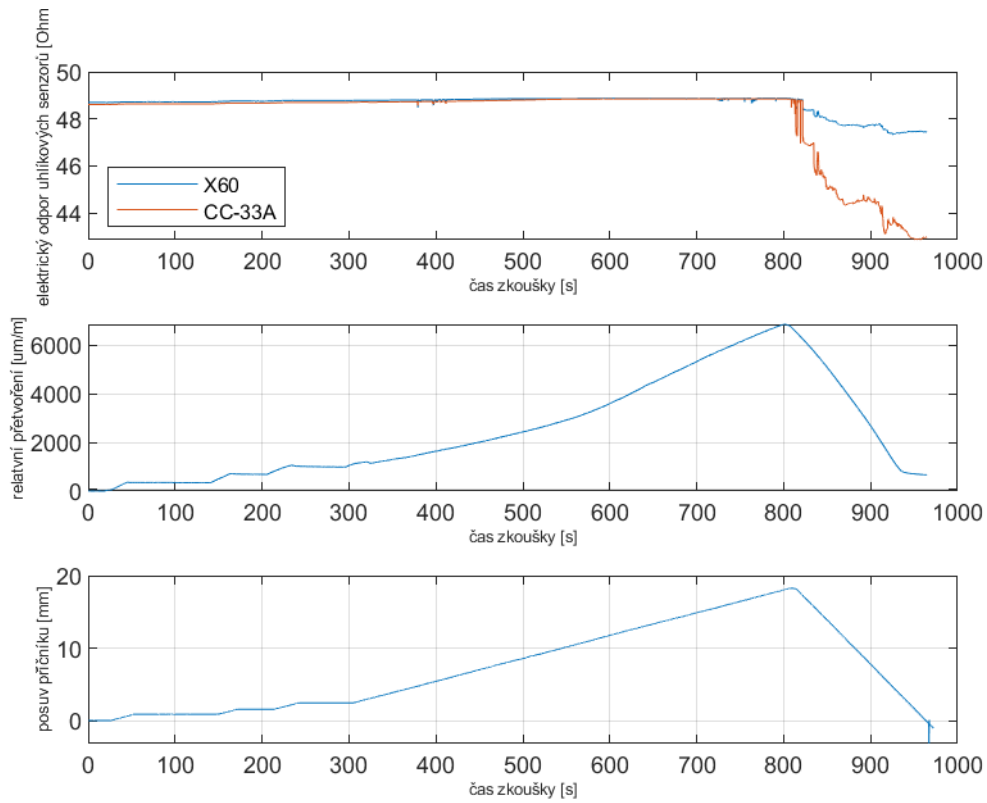


Tabulka zkoušených vzorků

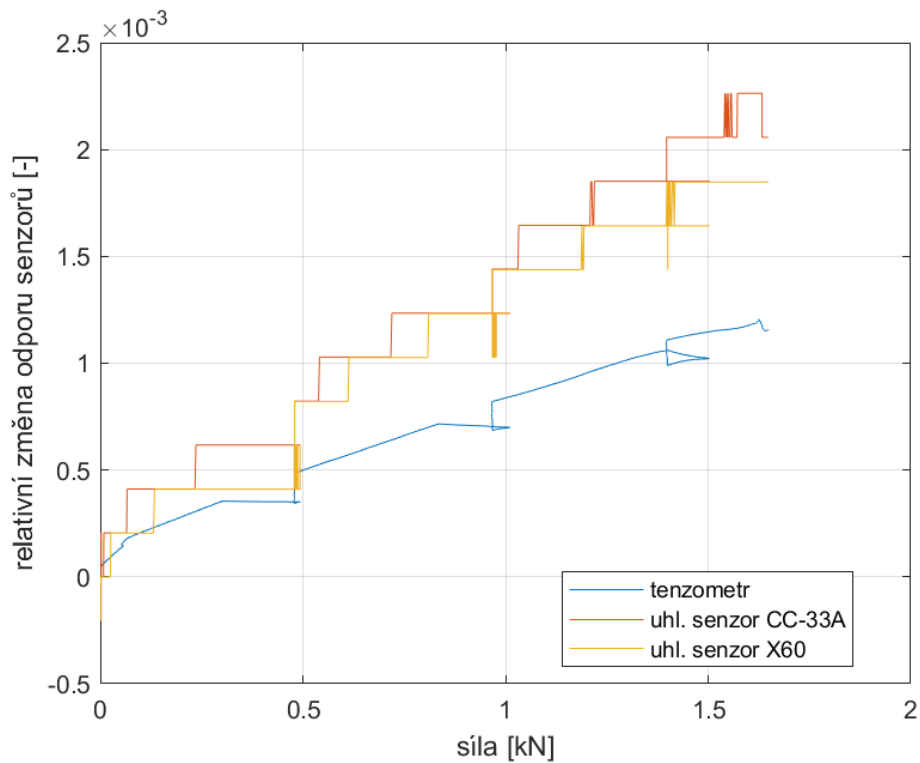
	C1	C2	C3	D1	D2	D3
R [Ohm]	0,237	0,239	0,36	0,238	0,267	0,424
R_{X60} [Ohm]	49,02	50,12	47,45	47,83	49,37	50,04
R_{CC-33A} [Ohm]	49,35	50,04	48,45	48,17	43,43	50,16
Tenzometr	HBM 6/350 LY11					

Destrukční zkouška C1

Kompletní záznam tenzometr a uhlíkové senzory

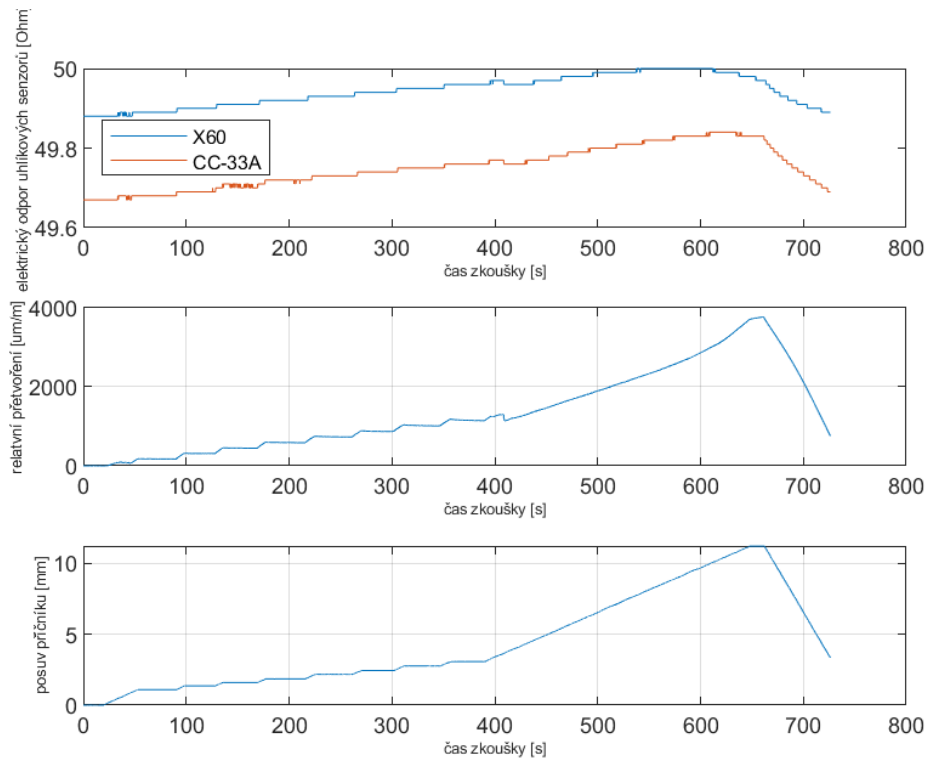


Zatěžovací část tenzometr a uhlíkové senzory

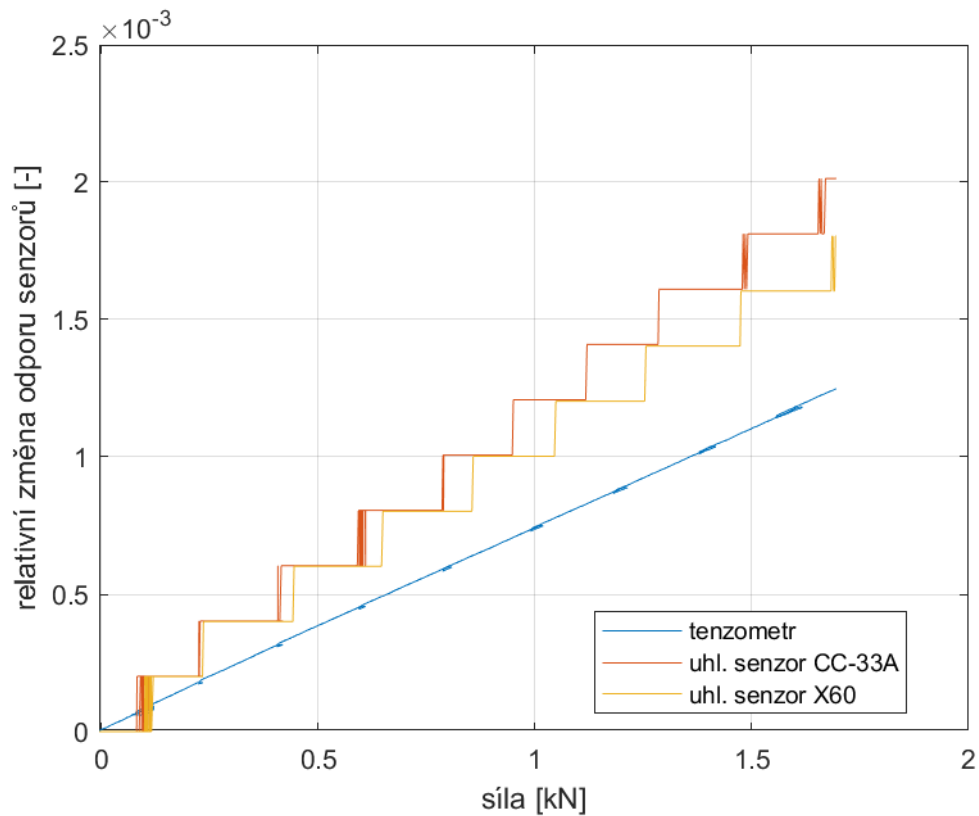


Destrukční zkouška C2

Kompletní záznam tenzometr a uhlíkové senzory

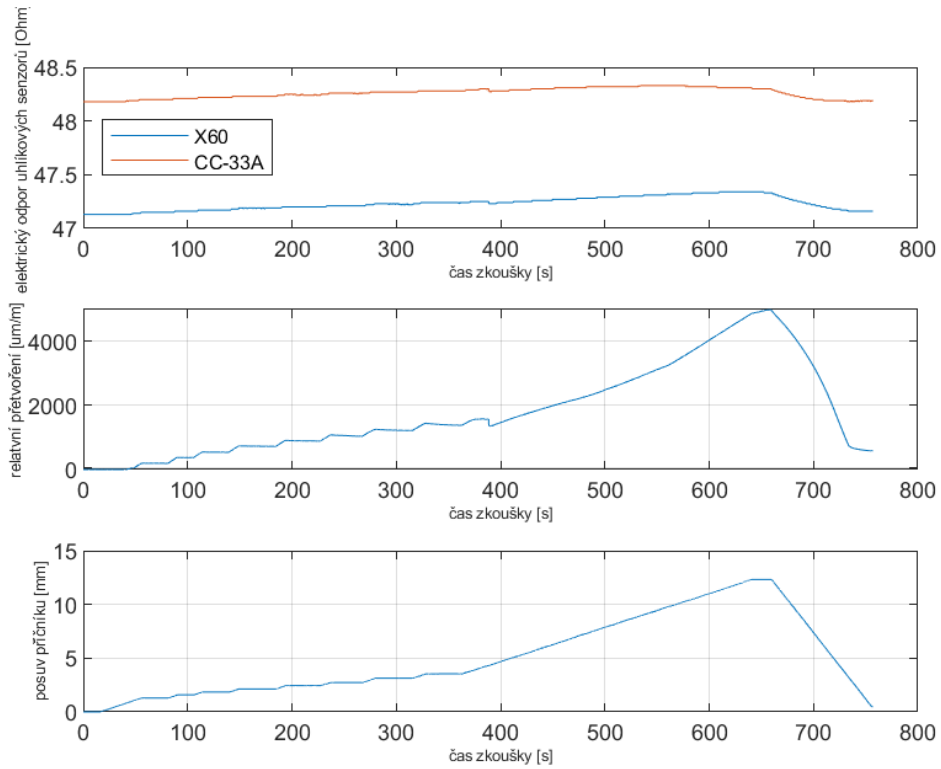


Zatěžovací část tenzometr a uhlíkové senzory

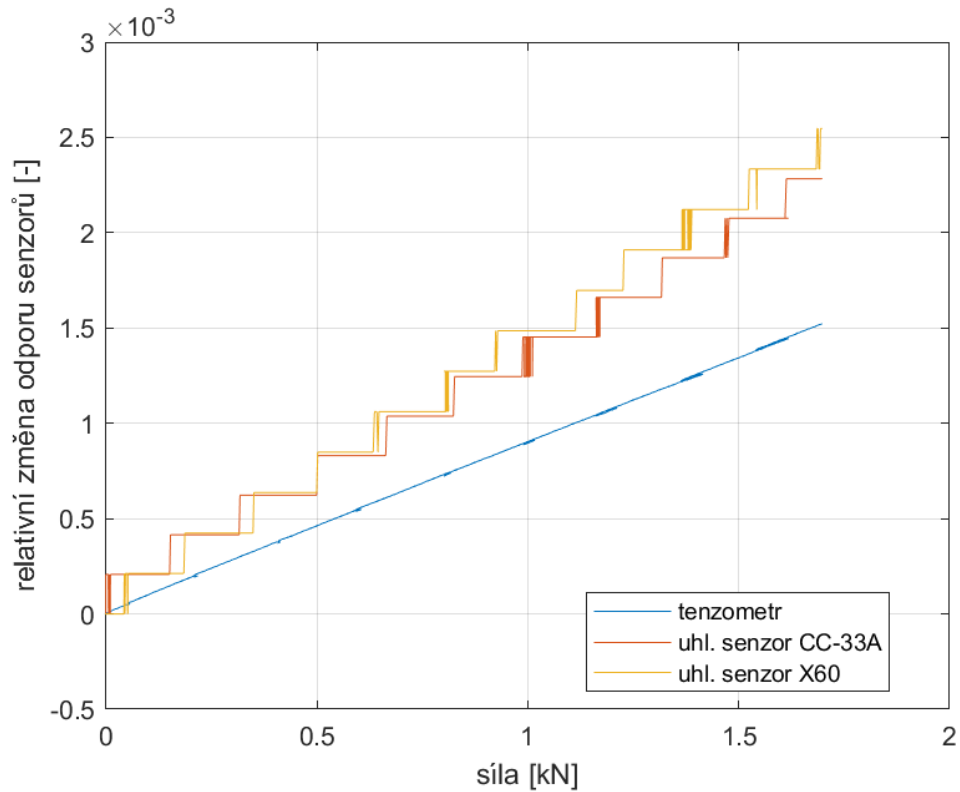


Destrukční zkouška C3

Kompletní záznam tenzometr a uhlíkové senzory

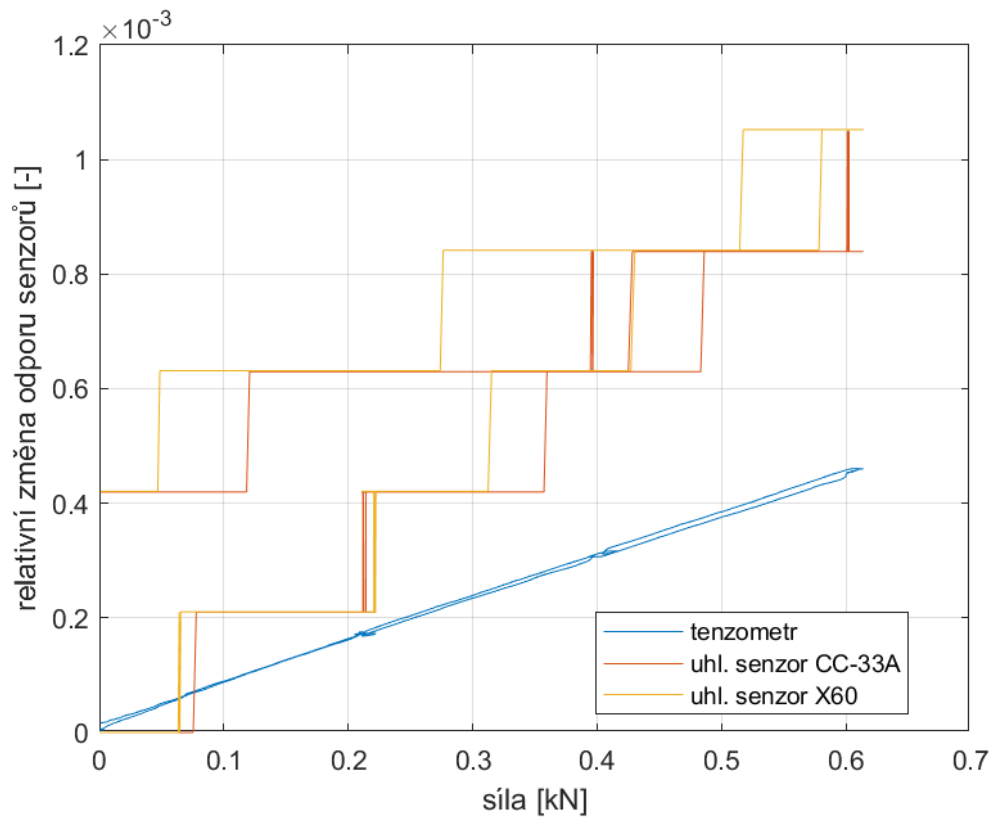
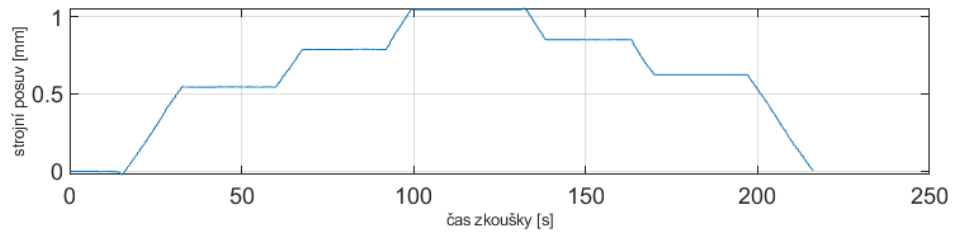
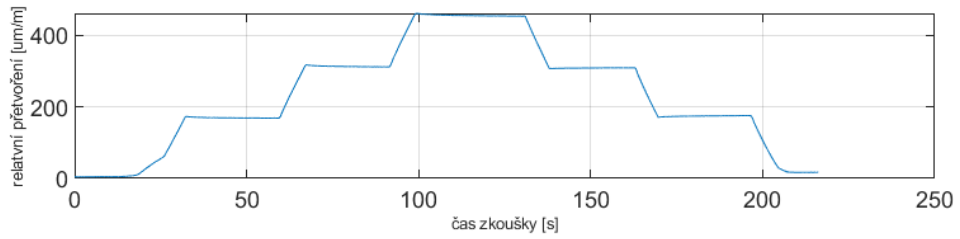
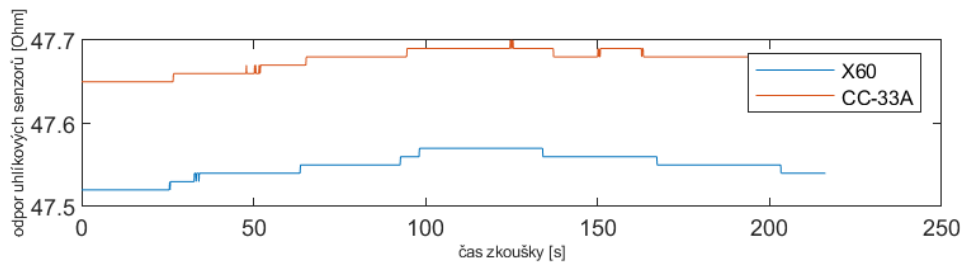


Zatěžovací část tenzometr a uhlíkové senzory

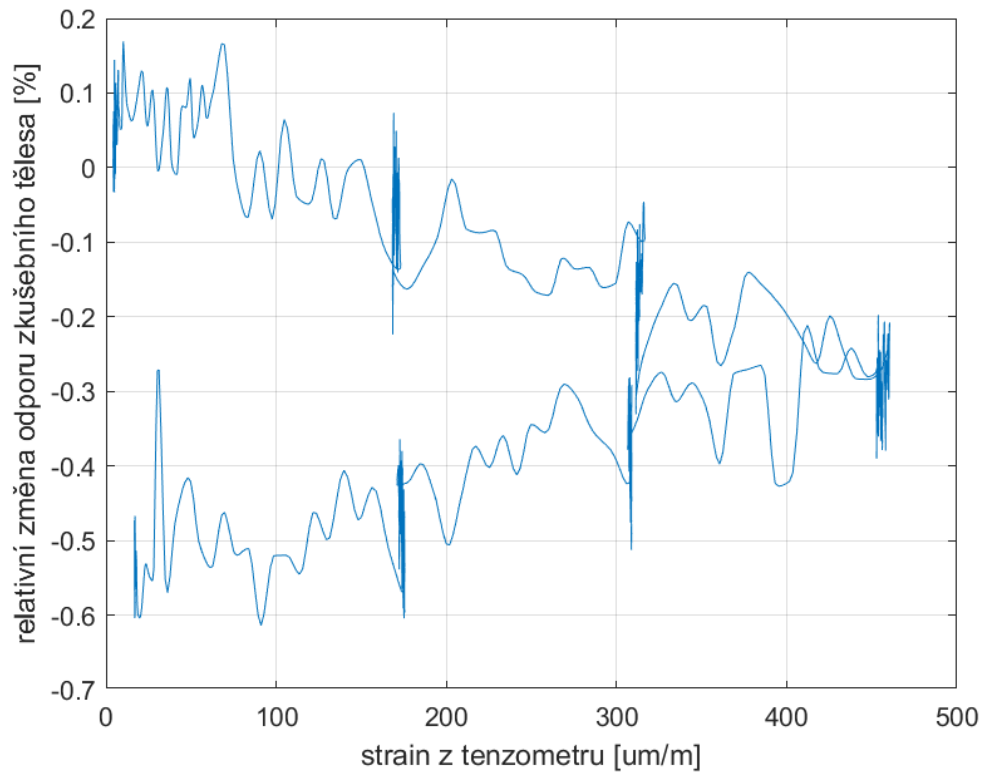


Nedestrukční zkouška schody D1

Kompletní záznam tenzometr a uhlíkové senzory

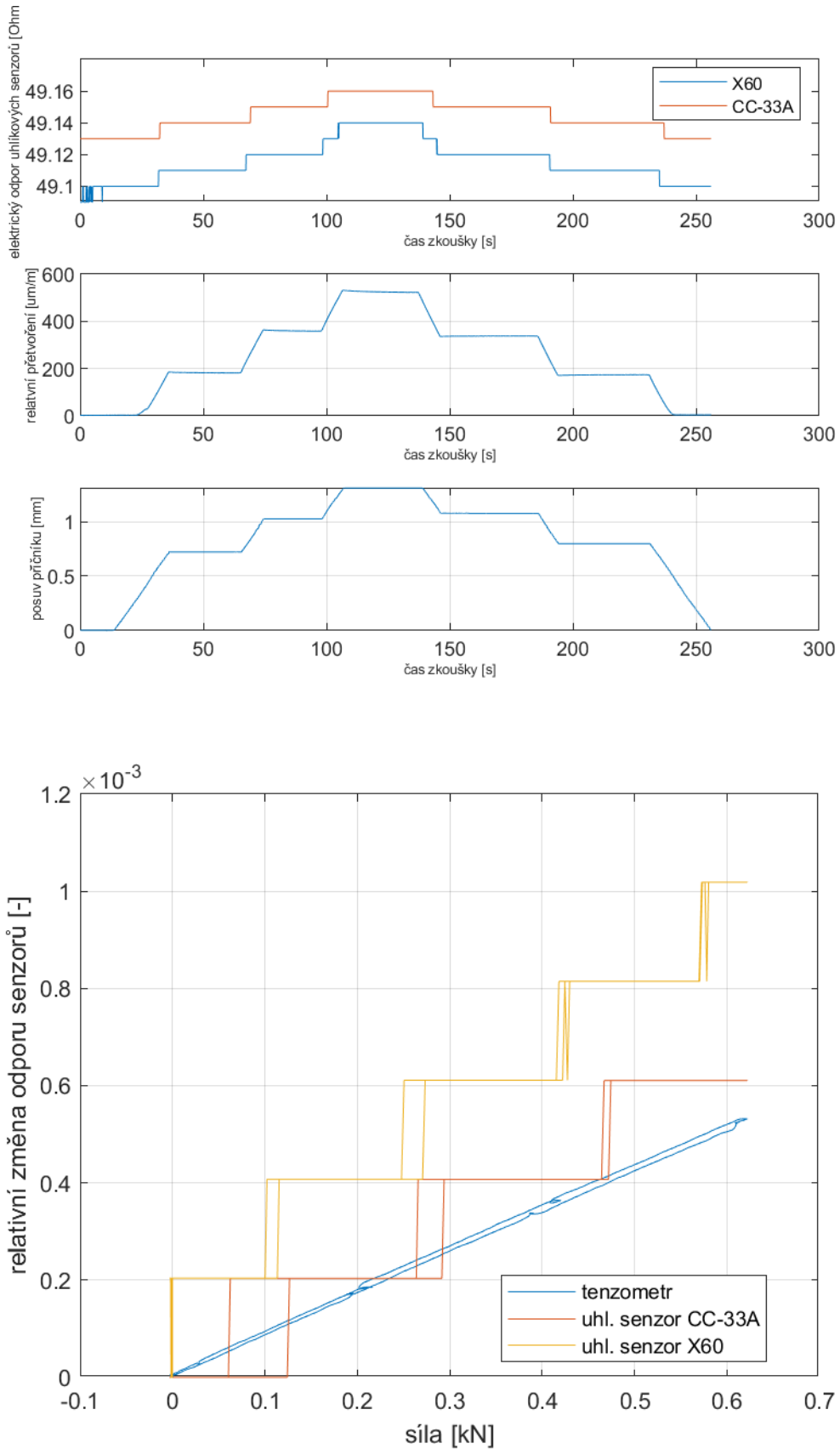


Kompletní záznam relativní změna odporu zkušebního tělesa

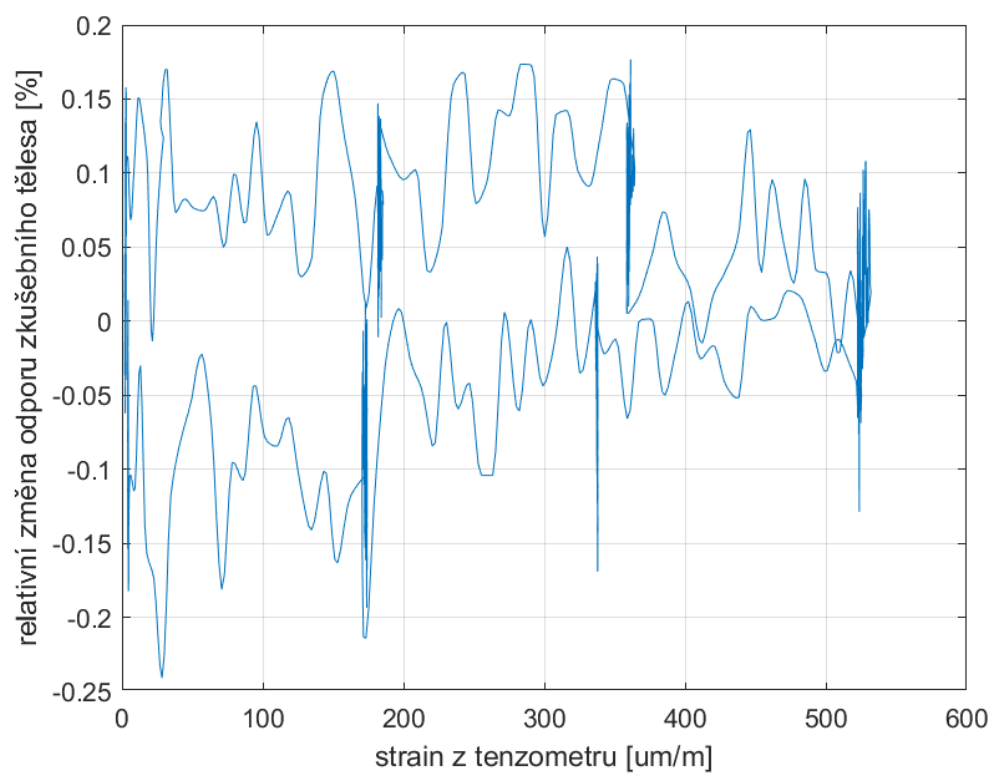


Nedestrukční zkouška schody D2

Kompletní záznam tenzometr a uhlíkové senzory

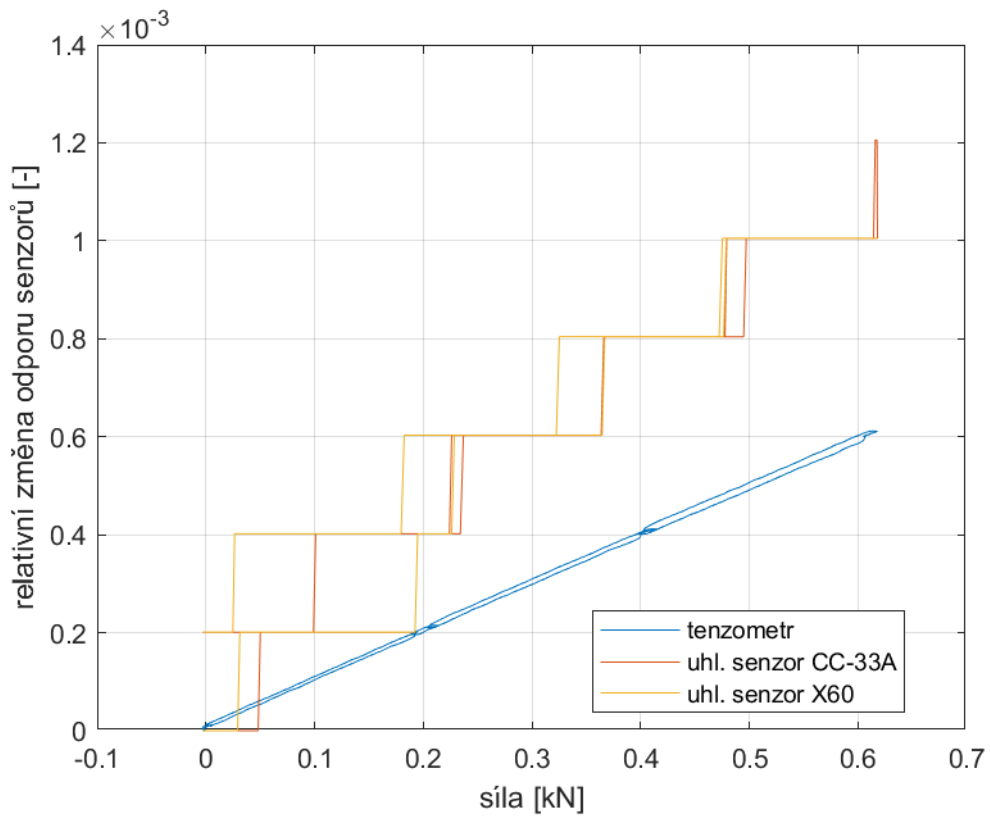
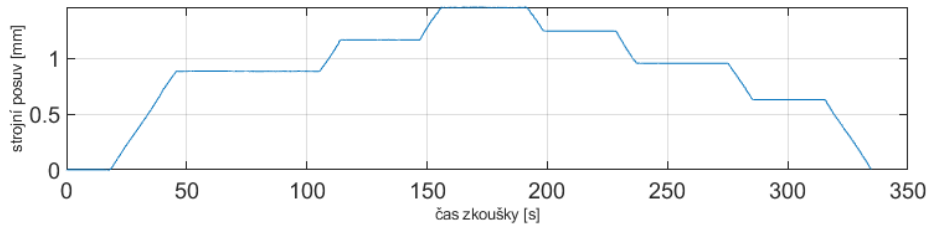
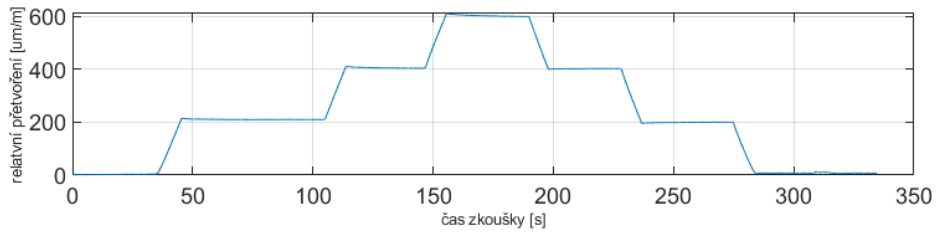
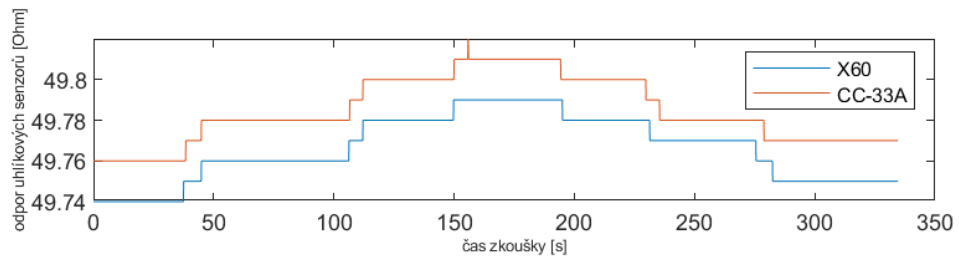


Kompletní záznam relativní změna odporu zkušebního tělesa

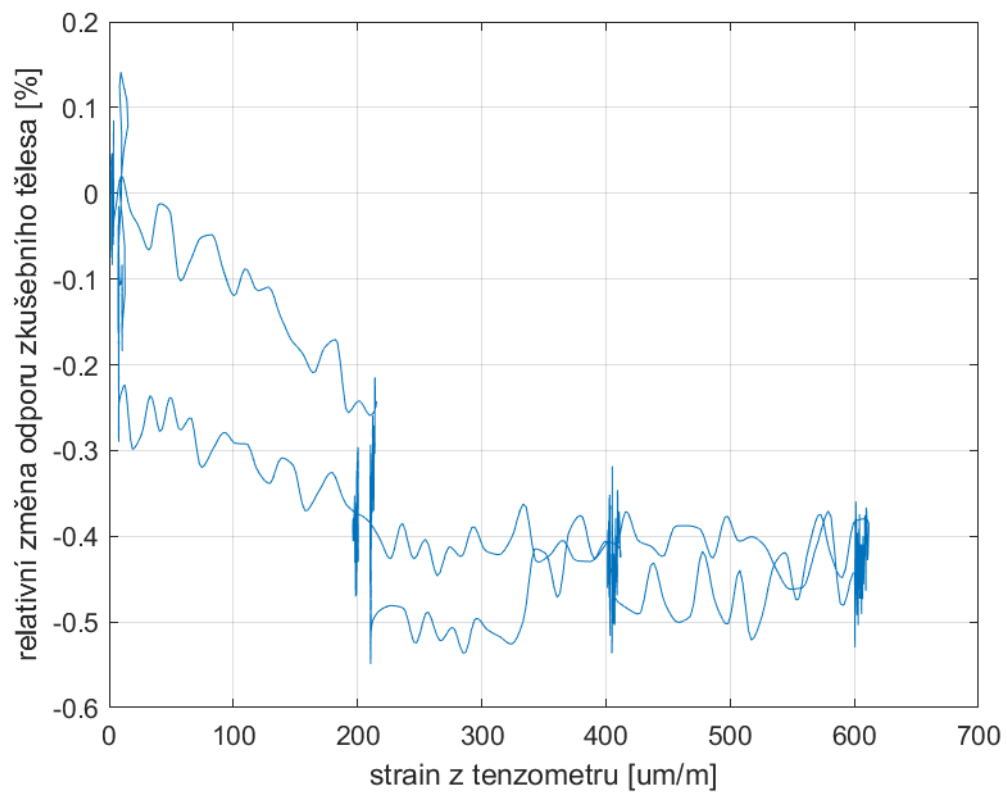


Nedestrukční zkouška schody D3

Kompletní záznam tenzometr a uhlíkové senzory

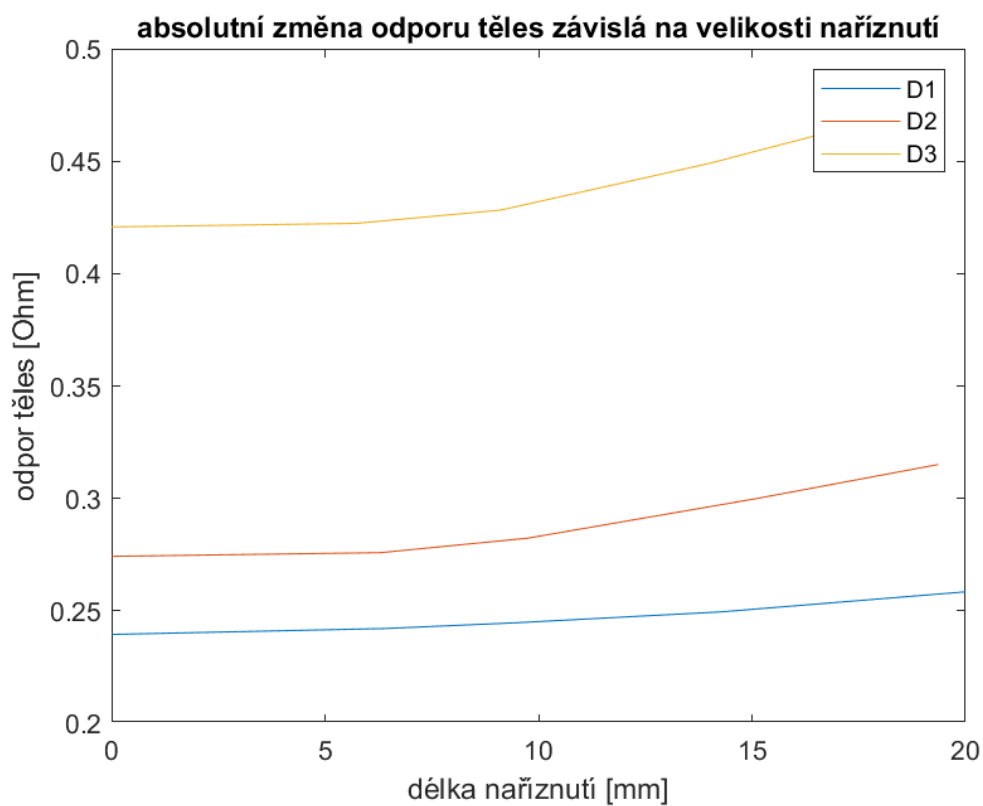


Kompletní záznam relativní změna odporu zkušební tělesa

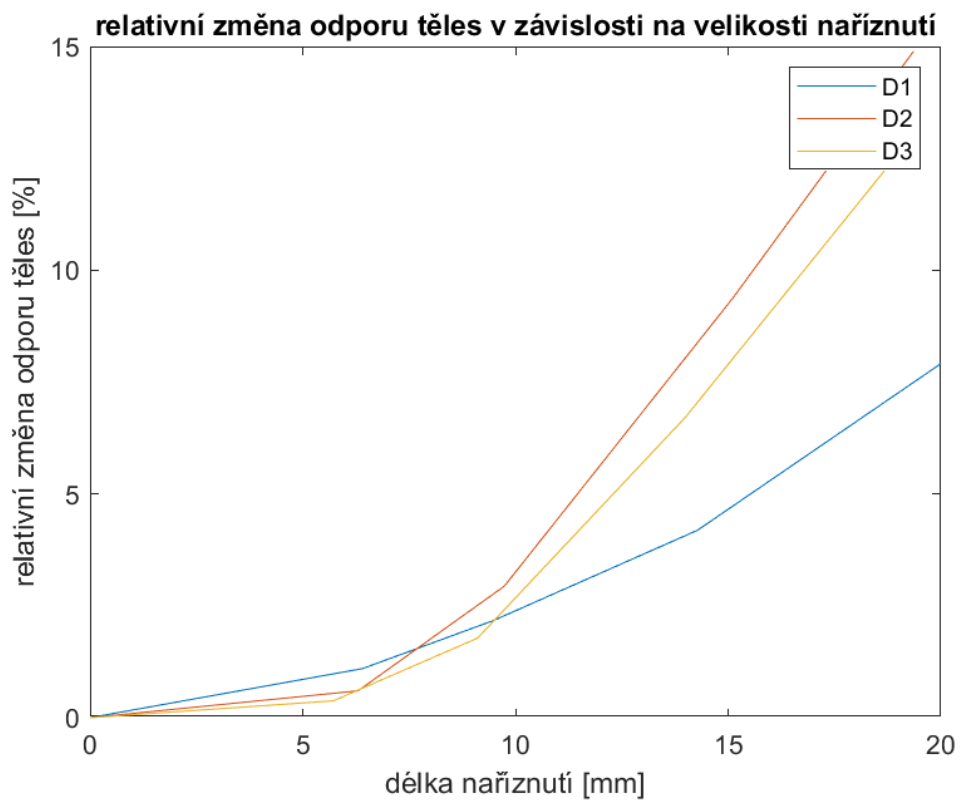


Porovnávací měření nařiznutím

Absolutní změna odporu při nařiznutí

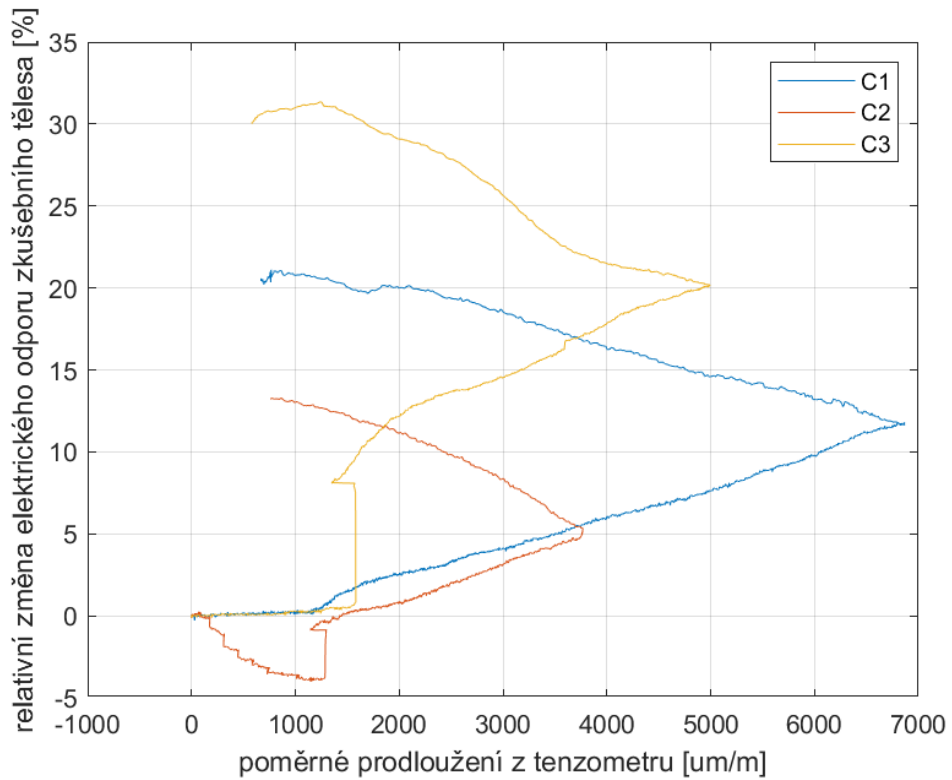


Relativní změna odporu při nařiznutí

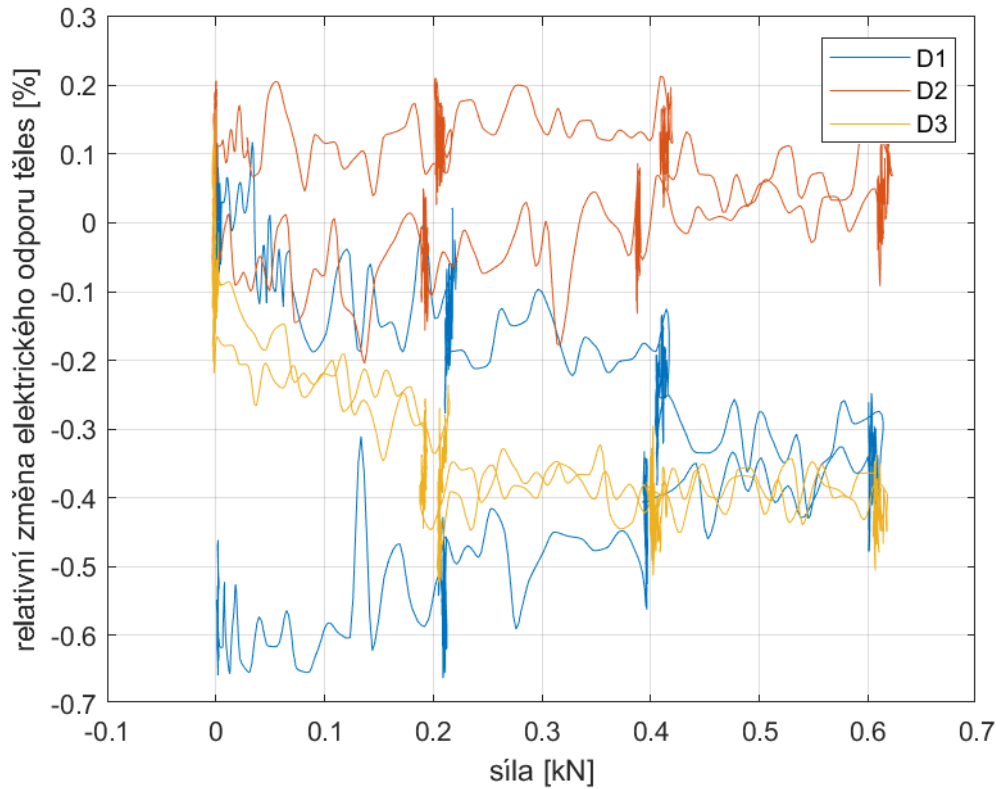


Grafy porovnávající senzory

Závislost relativní změny odporu těles na poměrném prodloužení při destrukční zkoušce



Závislost relativní změny odporu těles na síle při schodovém zatížení



Porovnání uhlíkových senzorů ze zkušebních těles C1 a C2

